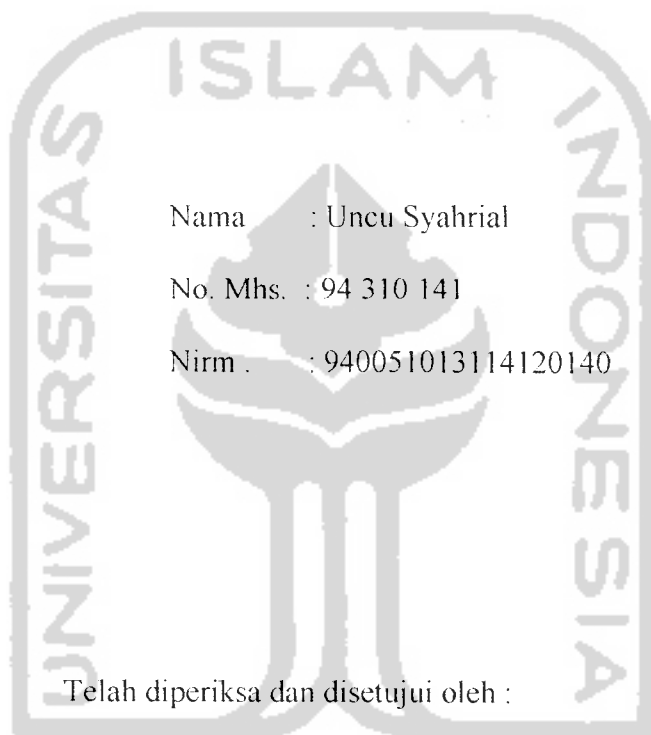


HALAMAN PENGESAHAN
TUGAS AKHIR
EVALUASI POTENSI LIKUIFAKSI BERDASARKAN DATA N-SPT
AKIBAT GEMPA FLORES dan GEMPA BLITAR



Ir. H.A. Halim Hasmar, MT.

Dosen Pembimbing I

Ir. Ibnu Sudarmadji,MS.

Dosen Pembimbing II



Halim Hasmar

Tanggal 1.09 '99

Tanggal : 31/12/99

DAFTAR ISI

| | |
|--|------|
| HALAMAN JUDUL | i |
| LEMBAR PENGESAHAN | ii |
| KATA PENGANTAR | iii |
| DAFTAR ISI | v |
| DAFTAR TABEL | viii |
| DAFTAR GAMBAR | x |
| DAFTAR NOTASI | xi |
| DAFTAR LAMPIRAN | xiii |
| INTISARI | xiv |
| Bab I PENDAHULUAN | |
| 1.1 Latar Belakang | 1 |
| 1.2 Tujuan Penelitian | 2 |
| 1.3 Manfaat Penelitian | 2 |
| 1.4 Batasan Masalah | 2 |
| Bab II TINJAUAN PUSTAKA | |
| 2.1 Potensi Likuifaksi pada Gempa Blitar | 4 |
| 2.2 Potensi Likuifaksi pada Gempa Flores | 4 |
| Bab III LANDASAN TEORI | |
| 3.1 Teori Plat Tektonik | 6 |
| 3.2 Gempa Bumi | 8 |

| | |
|---|----|
| 5.6. Contoh Evaluasi Potensi Likuifaksi | 53 |
| BAB VI PEMBAHASAN | |
| 6.1 Umum | 74 |
| 6.2 Gempa Blitar | 75 |
| 6.3 Gempa Flores | 78 |
| BAB VII KESIMPULAN dan SARAN | |
| 7.1 Kesimpulan | 84 |
| 7.2 Saran | 84 |
| DAFTAR PUSTAKA | 86 |
| LAMPIRAN | |

1.4 Batasan Masalah

Dalam penulisan ini akan ditinjau potensi likuifaksi berdasarkan data N-SPT yang dilakukan di Maumere untuk Gempa Flores dan di Bali untuk Gempa Blitar dengan metode yang dipakai yaitu Metode Seed et al (1975), Metode Castro dan Metode Seed & Idriss (1971). Data gempa yang diambil berdasarkan data Gempa Flores tanggal 12 Desember 1992 dan Gempa Blitar tanggal 28 September 1998. Jenis tanah yang ditinjau adalah jenis tanah pasiran.

Berdasarkan laporan Badan Meteorologi dan Geofisika bahwa pada Gempa Blitar tanggal 28 September 1998 tidak terjadi likuifaksi, sedangkan Gempa Flores tanggal 12 Desember 1992 terjadi likuifaksi. Dalam penulisan Tugas Akhir ini akan dibuktikan dengan mengevaluasi potensi likuifaksi dengan metode diatas.

dengan Metode Castro 1975 dan Metode Seed & Idriss 1971 menyatakan bahwa analisis dengan Metode Castro (1975) dari Gempa Flores berpotensi terjadi likuifaksi pada kedalaman 2 meter sampai 12 meter sedangkan dengan Metode Seed & Idriss 1971 Gempa Flores juga berpotensi terjadi likuifaksi pada kedalaman 2 meter sampai 12 meter. Menurut perhitungan A. Halim Hasmar bahwa dengan menggunakan dua metode tersebut tidak semua lapisan tanah dengan N-SPT lebih kecil dari 25 dan Dr lebih kecil dari 75 berpotensi terjadinya likuifaksi. Beliau juga menyebutkan bahwa likuifaksi terjadi di sebagian besar pesisir pantai Maumere.

Penelitian yang dilakukan oleh Maurin Octavia (1997) mengenai Potensi Likuifaksi di Maumere Berdasarkan Metode Seed, Metode Tokimatsu dan Yoshimi, dan Metode Chinese Building Code bahwa tegangan yang disebabkan oleh gempa (τ_d/σ_{vo}') cenderung meningkat terhadap kedalaman hingga mencapai nilai ekstrem kemudian menurun. Nilai ekstrem tercapai ketika perbandingan tegangan keliling total (σ_{vo}) dengan tegangan keliling efektif (σ_{vo}') mendekati nilai 2. Untuk Metode Seed umumnya likuifaksi terjadi pada nilai $N\text{-SPT} \leq 7$, makin kecil nilai $N\text{-SPT}$ makin besar potensi likuifaksi terjadi. Kandungan butir halus sangat mempengaruhi terjadinya potensi likuifaksi terutama pada butir halus non plastis. Umumnya pada kedalaman > 20 meter tidak terjadi likuifaksi.

Pada umumnya gelombang yang ditimbulkan oleh beban dinamik dapat dibagi menjadi dua yaitu *surface-wave* yang terdiri dari *Rayleigh wave* dan *Love wave*, yang lain adalah *Body waves* yang terdiri dari *P-wave* dan *S-wave*. *Surface wave* adalah gelombang yang hanya menjalar di permukaan tanah saja. Pada gelombang *Rayleigh*, butir-butir tanah bergerak elips seperti putaran roda dan arah gerakannya pada bidang vertikal. Sedangkan pada gelombang *Love* butir-butir tanah permukaan bergerak transversal pada bidang horizontal. *Body wave* merupakan gelombang gempa yang menjalar di dalam bumi. *Body wave* terdiri dari gelombang Primer (*P-wave*) dan gelombang Sekunder (*S-wave*). Gelombang Primer adalah gelombang yang menjalar dengan memampat dan menyebar searah dengan arah rambatan (secara longitudinal). Kecepatan gelombang Primer antara 1,4 km/det sampai 6,4 km/det. Gelombang Sekunder adalah gelombang yang menjalar secara transversal. Kecepatan gelombang Sekunder sekitar 2/3 kali kecepatan gelombang Primer. Gelombang Sekunder disertai dengan perputaran sehingga lebih membahayakan bangunan daripada gelombang Primer. Sebagaimana gelombang geser, gelombang Sekunder hanya dapat merambat pada material yang solid dan tidak dapat merambat pada material cair. Dari percobaan Woods, 1968 diketahui bahwa energi *R-wave* itu ternyata 67%, *S-wave* 26% dan *P-wave* hanya 7% dari total energi pada pusat gempa. Dari hasil tersebut dapat diketahui bahwa pada dinamika tanah atau didalam *Earthquake resistant* yang dipertimbangkan hanya *S-wave* (Prof.Dr.Ir.Djoko Soelarno Sidji,Msc, Asas-Asas Dinamika tanah, 1986).

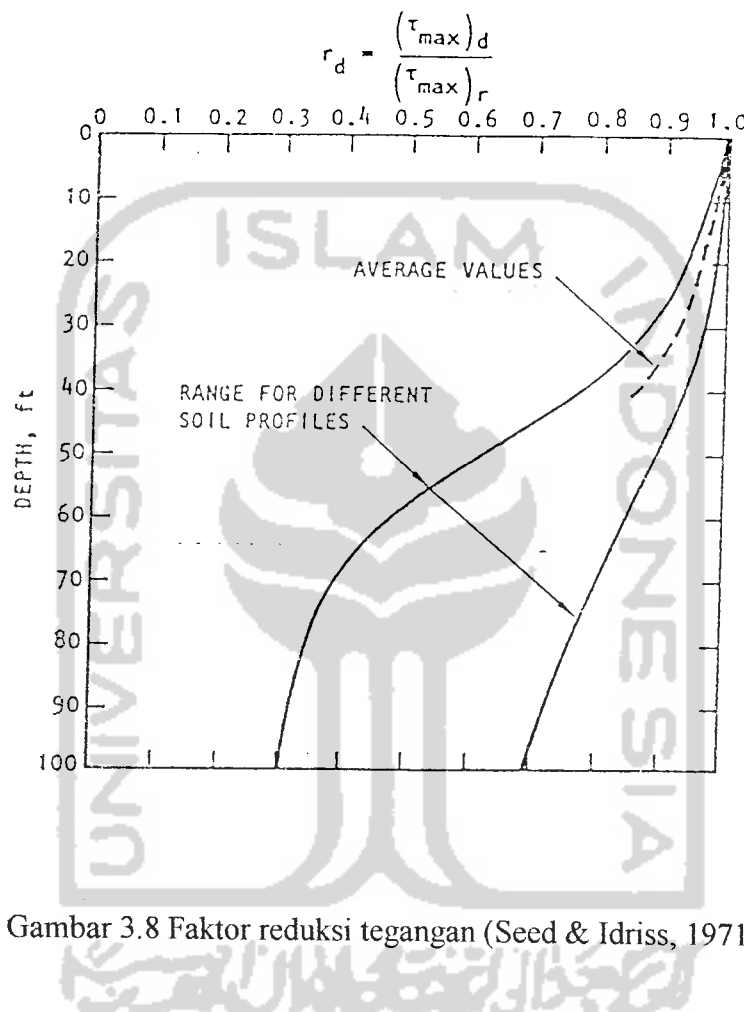
Data dari stasiun pencatat gempa tektonik, berupa informasi skala magnitude gempa, kedalaman pusat gempa dan jarak episenter dari stasiun pencatat gempa yang merupakan sebagian kecil dari parameter-parameter gempa. Data gelombang horizontal dan vertikal akibat gempa tektonik, kemudian diolah dengan program komputer *shake* sehingga dengan cepat didapatkan grafik digitasi gempa, grafik *velocity* dan *displacement* gempa. Dari gambar grafik digitasi gempa yang berupa hubungan antara lama durasi gempa dengan amplitudo rambatan gelombang dimana dapat diinterpretasikan lama/durasi gelombang Primer (*P-wave*) dan lama/durasi gelombang Sekunder (*S-wave*) dan juga dapat dianalisis paramater-parameter gempa, diantaranya skala magnitude gempa berupa skala Richter dan jarak episenter. Berdasarkan data magnitude gempa dapat dianalisis parameter-parameter gempa, energi (E) yang dilepaskan oleh patahan lempeng yang merupakan pusat gempa, juga lama/durasi gempa (d atau to) dan percepatan permukaan, a (Makalah Seminar Evaluasi Karakteristik dan Parameter Gempa untuk Gempa Tektonik Blitar 28 September 1998 ; A. Halim Hasmar).

Sebagian kota-kota besar di Indonesia terletak di daerah pantai yang material tanahnya banyak mengandung pasir, sehingga sangat mungkin mengalami likuifaksi jika terjadi gempa bumi dengan skala yang relatif besar.

3.3 Pengertian dan Mekanisme Likuifaksi

Likuifaksi adalah suatu proses perubahan kondisi tanah pasir yang jenuh air menjadi cair, akibat meningkatnya tekanan air pori yang harganya menjadi

memperhitungkan hubungan tegangan geser dinamik dan distribusi serta variasinya terhadap waktu (gambar 3.7).



Gambar 3.8 Faktor reduksi tegangan (Seed & Idriss, 1971)

Metode 3 berbeda dengan ke 2 metode terdahulu. Metode ini mempergunakan hasil uji insitu yang memperlihatkan karakteristik tanah dimana respon tanah terjadi terhadap pembebahan siklik dengan membandingkan potensi likuifaksi tanah yang diteliti dengan tanah yang mengalami likuifaksi pada gempa terdahulu. Metode ini mempergunakan data SPT. Dalam pengambilan contoh

$$C_N = (1 - 1,25 \log \sigma_{vo}' / 11,10) \dots \dots \dots \quad (3,17)$$

$$C_N = (1 - 1,25 \log \sigma_{vo}) \dots \dots \dots \quad (3.18)$$

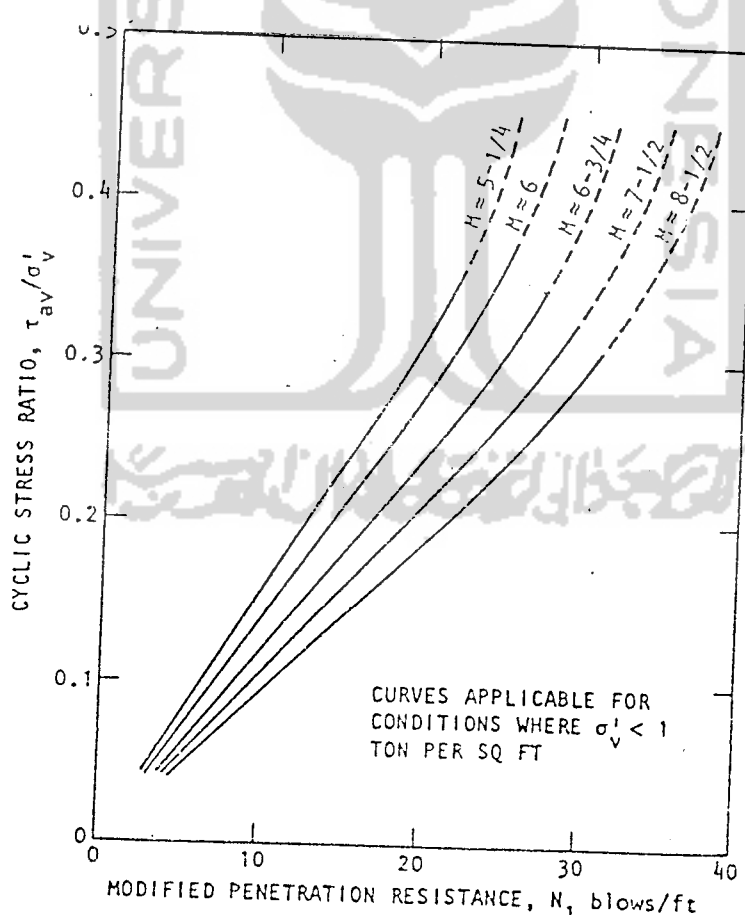
dimana :

N = nilai SPT lapisan tanah (blow/ft)

N_1 = nilai SPT yang dikoreksi (blow/ft)

$C_N = \text{nilai koreksi } N \text{ SPT}$

σ_{vo}' = tekanan efektif lapisan tanah, dalam t/m^2 untuk rumus (3.17), dalam t/ft^2 untuk rumus (3.18).



Gambar 3.14 Grafik untuk evaluasi potensi likuifaksi (Seed & Idriss, 1971)

BAB IV

METODE ANALISIS

4.1 Umum

Metode analisis dilakukan dengan beberapa tahap yaitu pengumpulan data lapangan, pengumpulan literatur, pembuatan proposal Tugas Akhir serta perhitungan untuk mengevaluasi potensi likuifaksi yang terjadi di lapangan.

4.2 Pengumpulan Data Lapangan

Pengumpulan data lapangan sangat diperlukan untuk dianalisa. Peristiwa gempa yang terjadi, telah dikaji oleh para peneliti sebelumnya. Oleh karena itu data-data yang diperoleh penulis berdasarkan penelitian lapangan oleh berbagai pihak yang berkepentingan.

Ada dua data yang diperlukan dalam penulisan ini, yaitu pengumpulan data N-SPT dan data gempa yang terjadi. Data N-SPT diperoleh dari Puslitbang Pengairan Bandung yang telah melakukan pemboran di daerah Maumere untuk Gempa Flores dan PT. Engitama Nusa Geotestindo yang melakukan pemboran di Bali. Data-data dan keterangan mengenai Gempa Blitar dan Gempa Flores didapat dari Badan Meteorologi dan Geofisika Jakarta serta literatur-literatur lainnya.

Kerusakan yang terjadi pada Gempa Blitar dicatat oleh Tim Survai yang terdiri dari Seismologist Kantor Balai Meteorologi dan Geofisika Wilayah III Denpasar, Kepala Stasiun Geofisika Tretes dan Ph Kepala Stasiun Geofisika Karang Kates beserta staf menyebutkan bahwa di Kecamatan Batur 6 bangunan roboh, 10 rusak berat, 47 rusak ringan; sedangkan di Kecamatan Sumber Manjing Wetan 4 bangunan roboh, 185 rusak berat dan 238 rusak ringan. Berdasarkan laporan dari kepala bagian Sosial Pemda Dati II Blitar bahwa kerugian materi sebesar Rp.225.500.000,00 (dua ratus dua puluh lima juta lima ratus ribu rupiah).Gempa Blitar menimbulkan korban jiwa dan harta benda tetapi tidak menimbulkan Tsunami.

5.2 Data Tanah di Bali

Untuk mendapatkan data N-SPT di daerah lokasi gempa perlu diadakan pengeboran disekitar lokasi gempa tersebut. Pengeboran telah dilakukan sebelum gempa Blitar terjadi di Tanah Lot, Bali. Pengeboran dilakukan oleh PT. Engitama Nusa Geotestindo (PT.ENG) pada tanggal 23 desember 1993. Pengeboran dilakukan untuk mengetahui nilai N-SPT dan pengambilan sampel tanah yang akan diuji di laboratorium untuk mengetahui sifat fisik tanah dan sifat mekanis tanah. Pengeboran dilakukan sebanyak 23 titik lokasi. Penulis hanya menggunakan 5 titik lokasi dalam mengevaluasi potensi likuifaksi. Hal ini disebabkan keterbatasan waktu

| | | | | |
|-----------------------------------|------|------|------|-------|
| τ (t/m ²) | 1,54 | 8,85 | 3,14 | 131,1 |
| ϕ (°) | 3 | - | 5 | - |
| W (%) | 48 | - | 56 | 14 |
| γ (gram/cm ³) | 1,14 | - | 1,05 | 1,09 |
| N (blow /feet) | 8 | 16 | 15 | 60 |

3. Bor-3

muka air tanah : 2,78 m

Tabel 5.4 Sifat fisik tanah Bor-3 pada setiap kedalaman

| Sifat Fisik | 1,2 m | 2,1 m | 3,3 m | 4,2 m |
|-----------------------------------|-------|-------|-------|-------|
| LL (%) | 94 | - | - | - |
| PI (%) | 61 | - | - | - |
| C (t/m ²) | 4,5 | - | - | 2,0 |
| τ (t/m ²) | 4,59 | 13,5 | 10,5 | 5,1 |
| ϕ (°) | 3,0 | - | - | 25,0 |
| W (%) | 48 | - | - | 46 |
| γ (gram/cm ³) | 1,12 | - | - | 1,18 |
| N (blow /feet) | 15 | 18 | 34 | 28 |

4. Bor-21

muka air tanah : 6,35 m

4. Bor-15 (Kompleks K. Kuning)

muka air tanah : 1,5 m

Tabel 5.10 Sifat fisik tanah Bor-15 pada setiap kedalaman

| Sifat Fisik | 1,9m | 3,3m | 6m | 8m | 10,5m | 12m | 14m | 16m | 18m |
|------------------|-------|-------|-------|-------|-------|-------|-------|-------|-------|
| Gs | 2,65 | 2,65 | 2,65 | 2,65 | 2,65 | 2,65 | 2,65 | 2,65 | 2,65 |
| Sr (%) | 93,36 | 93,36 | 93,36 | 93,36 | 93,36 | 93,36 | 93,36 | 93,36 | 93,36 |
| C (kpa) | 12 | 12 | 12 | 12 | 12 | 12 | 12 | 12 | 12 |
| e | 0,721 | 0,721 | 0,721 | 0,721 | 0,721 | 0,721 | 0,721 | 0,721 | 0,721 |
| σ (kpa) | 200 | 200 | 200 | 200 | 200 | 200 | 200 | 200 | 200 |
| τ (kpa) | 176 | 176 | 176 | 176 | 176 | 176 | 176 | 176 | 176 |
| ϕ (°) | 39,3 | 39,3 | 39,3 | 39,3 | 39,3 | 39,3 | 39,3 | 39,3 | 39,3 |
| W (%) | 25,3 | 25,3 | 25,3 | 25,3 | 25,3 | 25,3 | 25,3 | 25,3 | 25,3 |
| γ (kN/m³) | 15,1 | 15,1 | 15,1 | 15,1 | 15,1 | 15,1 | 15,1 | 15,1 | 15,1 |
| N(blow /ft) | 8 | 7 | 1 | 3 | 2 | 2 | 2 | 50 | 50 |

5. Bor-16 (SLA Budi Luhur 2)

muka air tanah : 5,5 m

Tabel 5.11 Sifat fisik tanah Bor-16 pada setiap kedalaman

| Sifat Fisik | 2m | 4,45m | 6m | 8m | 10m | 12m | 14m | 16m | 18m | 20m |
|------------------|-------|-------|-------|-------|-------|-------|-------|-------|-------|-------|
| Gs | 2,65 | 2,65 | 2,65 | 2,65 | 2,65 | 2,65 | 2,65 | 2,65 | 2,65 | 2,65 |
| Sr (%) | 99,6 | 99,6 | 99,6 | 99,6 | 99,6 | 99,6 | 99,6 | 99,6 | 99,6 | 99,6 |
| C (kpa) | 20 | 20 | 20 | 20 | 20 | 20 | 20 | 20 | 20 | 20 |
| e | 1,075 | 1,075 | 1,075 | 1,075 | 1,075 | 1,075 | 1,075 | 1,075 | 1,075 | 1,075 |
| σ (kpa) | 200 | 200 | 200 | 200 | 200 | 200 | 200 | 200 | 200 | 200 |
| τ (kpa) | 158 | 158 | 158 | 158 | 158 | 158 | 158 | 158 | 158 | 158 |
| ϕ (°) | 34,7 | 34,7 | 34,7 | 34,7 | 34,7 | 34,7 | 34,7 | 34,7 | 34,7 | 34,7 |
| W (%) | 40,4 | 40,4 | 40,4 | 40,4 | 40,4 | 40,4 | 40,4 | 40,4 | 40,4 | 40,4 |
| γ (kN/m³) | 12,5 | 12,5 | 12,5 | 12,5 | 12,5 | 12,5 | 12,5 | 12,5 | 12,5 | 12,5 |
| N(blow /ft) | 19 | 4 | 3 | 18 | 14 | 50 | 28 | 50 | 50 | 50 |

$$Dr = 78,339 \%$$

$$r_d = 1 - 0,015 * h$$

$$= 1 - 0,015 * 1,2$$

$$= 0,982 \text{ m}$$

$$\tau_{\text{maks}} = (\sigma_{vo}/g) * a_{\text{maks}} * r_d$$

$$= (1,416/9,81) * 0,2 * 0,982$$

$$= 0,0283 \text{ t/m}^2$$

$$\tau_{av} = 0,65 * \tau_{\text{maks}}$$

$$= 0,65 * 0,0283$$

$$= 0,0184 \text{ t/m}^2$$

$$\tau_{av} / \sigma_{vo}' = 0,0184 / 1,416$$

$$= 0,01301$$

$$C_N = \left(1 - 1,25 \log \frac{\sigma_{vo}'}{11,1} \right)$$

$$C_N = \left(1 - 1,25 \log \frac{1,416}{11,1} \right)$$

$$C_N = 2,118$$

$$N_l = C_N * N$$

$$= 2,118 * 13 = 27,534 \text{ blow/feet}$$

Dari grafik 3.14 didapatkan keterangan bahwa bor-1 tidak terjadi likuifaksi.

Tabel 5.16 Hasil evaluasi potensi likufaksi untuk Gempa Flores dengan metode Castro (1975)

Lokasi : Bor-1 (kampung Wai Oti/Sudirman)

| kedalaman (m) | γ'_{sat} | γ' | σ'_{vo} | $\sigma'_{vo'}$ | N | Dr | rd | a maks | τ_{av} | τ_{max} | $\tau_{av}/\tau_{vo'}$ | N' | Keterangan (grafik) | | |
|------------------|-----------------|-----------|----------------|-----------------|----|---------|-------|--------|-------------|--------------|------------------------|---------|---------------------|-------------------------|--|
| | | | | | | | | | | | | | blow/ft | | |
| 2 | 16,7 | 6,7 | 33,4 | 13,4 | 19 | 0,62979 | 0,97 | 1,0151 | 9,81 | 3,3524 | 2,179071 | 0,16262 | 40,5983 | Tidak terjadi likufaksi | |
| 4 | 16,7 | 6,7 | 66,8 | 26,8 | 13 | 0,41412 | 0,94 | 1,0151 | 9,81 | 6,4975 | 4,223354 | 0,15759 | 17,663 | Tidak terjadi likufaksi | |
| 6 | 16,7 | 6,7 | 100,2 | 40,2 | 10 | 0,49434 | 0,91 | 1,0151 | 9,81 | 9,4352 | 6,132849 | 0,15256 | 9,96016 | Tidak terjadi likufaksi | |
| 8 | 16,7 | 6,7 | 133,6 | 53,6 | 14 | 0,54065 | 0,88 | 1,0151 | 9,81 | 12,165 | 7,907557 | 0,14753 | 11,0063 | Tidak terjadi likufaksi | |
| 10 | 16,7 | 6,7 | 167 | 67 | 20 | 0,60374 | 0,85 | 1,0151 | 9,81 | 14,688 | 9,547476 | 0,1425 | 12,987 | Tidak terjadi likufaksi | |
| 12 | 16,7 | 6,7 | 200,4 | 80,4 | 20 | 0,56968 | 0,82 | 1,0151 | 9,81 | 17,004 | 11,05261 | 0,13747 | 11,0619 | Tidak terjadi likufaksi | |
| 14 | 16,7 | 6,7 | 233,8 | 93,8 | 22 | 0,56541 | 0,79 | 1,0151 | 9,81 | 19,112 | 12,42295 | 0,13244 | 10,5973 | Tidak terjadi likufaksi | |
| 16 | 16,7 | 6,7 | 267,2 | 107,2 | 36 | 0,68919 | 0,76 | 1,0151 | 9,81 | 21,013 | 13,65851 | 0,12741 | 15,3584 | Tidak terjadi likufaksi | |
| 18 | 16,7 | 6,7 | 300,6 | 120,6 | 40 | 0,69519 | 0,73 | 1,0151 | 9,81 | 22,707 | 14,75927 | 0,12238 | 15,3139 | Tidak terjadi likufaksi | |
| 21 | 16,7 | 6,7 | 350,7 | 140,7 | 52 | 0,74665 | 0,685 | 1,0151 | 9,81 | 24,858 | 16,1577 | 0,11484 | 17,2528 | Tidak terjadi likufaksi | |

Lokasi : Bor-5 (Jalan Yos Sudarso)

| kedalaman (m) | γ'_{sat} | γ' | σ'_{vo} | $\sigma'_{vo'}$ | N | Dr | rd | a maks | τ_{av} | τ_{max} | $\tau_{av}/\tau_{vo'}$ | N' | Keterangan (grafik) | | |
|------------------|-----------------|-----------|----------------|-----------------|----|---------|------|--------|-------------|--------------|------------------------|---------|---------------------|-------------------------|--|
| | | | | | | | | | | | | | blow/ft | | |
| 2 | 12 | 2 | 24 | 4 | 12 | 0,54738 | 0,97 | 1,0151 | 9,81 | 2,4089 | 1,56558 | 0,39145 | 42,8571 | Tidak terjadi likufaksi | |
| 4 | 12 | 2 | 48 | 8 | 1 | 0,12899 | 0,94 | 1,0151 | 9,81 | 4,6688 | 3,034745 | 0,37934 | 2,77778 | Terjadi likufaksi | |
| 6 | 12 | 2 | 72 | 12 | 2 | 0,23893 | 0,91 | 1,0151 | 9,81 | 6,7798 | 4,406338 | 0,36724 | 4,54545 | Terjadi likufaksi | |
| 10 | 12 | 2 | 120 | 20 | 4 | 0,29796 | 0,85 | 1,0151 | 9,81 | 10,555 | 6,860462 | 0,34302 | 6,66667 | Terjadi likufaksi | |
| 12 | 12 | 2 | 144 | 24 | 5 | 0,31602 | 0,82 | 1,0151 | 9,81 | 12,218 | 7,941993 | 0,33092 | 7,35294 | Terjadi likufaksi | |
| 14 | 12 | 2 | 168 | 28 | 6 | 0,33005 | 0,79 | 1,0151 | 9,81 | 13,733 | 8,926671 | 0,31881 | 7,83974 | Terjadi likufaksi | |
| 16 | 12 | 2 | 192 | 32 | 9 | 0,38701 | 0,76 | 1,0151 | 9,81 | 15,099 | 9,814496 | 0,3067 | 10,7143 | Kritis | |
| 18 | 12 | 2 | 216 | 36 | 8 | 0,35055 | 0,73 | 1,0151 | 9,81 | 16,316 | 10,60547 | 0,2946 | 8,63565 | Terjadi likufaksi | |

| | | | | | | | | | | | | | | | |
|----|----|---|-----|----|----|------------|------|--------|------|-------------|-------------|-------------|------------|------------|-------------------------|
| 20 | 12 | 2 | 240 | 40 | 11 | 0,39609573 | 0,7 | 1,0151 | 9,81 | 17,38397554 | 11,2995841 | 0,282489602 | 11 | 1,21 | Tidak terjadi likufaksi |
| 22 | 12 | 2 | 264 | 44 | 11 | 0,38265668 | 0,67 | 1,0151 | 9,81 | 18,30284281 | 11,89684783 | 0,270382905 | 10,1851852 | 112,037037 | Tidak terjadi likufaksi |
| 24 | 12 | 2 | 288 | 48 | 12 | 0,38697341 | 0,64 | 1,0151 | 9,81 | 19,07270459 | 12,39725798 | 0,258276208 | 10,3448276 | 124,137931 | Tidak terjadi likufaksi |
| 26 | 12 | 2 | 312 | 52 | 51 | 0,7739341 | 0,61 | 1,0151 | 9,81 | 19,69386086 | 12,80081456 | 0,246169511 | 41,1290323 | 2097,58065 | Tidak terjadi likufaksi |
| 28 | 12 | 2 | 336 | 56 | 51 | 0,75211776 | 0,58 | 1,0151 | 9,81 | 20,16541162 | 13,10751755 | 0,234062813 | 38,6363636 | 1970,45455 | Tidak terjadi likufaksi |

Lokasi : B-12 (Jalan Anggrek Perumnas)

| kedalaman (m) | γ_{sat} | γ' | o _{vo} ' | N | Dr | rd | a maks (m/det2) | g | τ max | tav | tav/o _{vo} ' | CN | N1 | Keterangan (grafik) | |
|------------------|----------------|-----------|-------------------|--------|----|------------|--------------------|--------|------------|--------------|-----------------------|--------------|------------|---------------------|-------------------------|
| | | | | | | | | | | | | | | blw/ft | |
| 2 | 15,1 | 15,1 | 30,2 | 30,2 | 4 | 0,29738641 | 0,97 | 1,0151 | 9,81 | 3,031227258 | 1,970297718 | 0,065241646 | 4,97512438 | 19,9004975 | Tidak terjadi likufaksi |
| 4 | 15,1 | 15,1 | 60,4 | 60,4 | 9 | 0,35740087 | 0,94 | 1,0151 | 9,81 | 5,874955923 | 3,81872135 | 0,063223863 | 6,39204545 | 57,5284091 | Tidak terjadi likufaksi |
| 6 | 15,1 | 15,1 | 90,6 | 90,6 | 7 | 0,42410928 | 0,91 | 1,0151 | 9,81 | 8,531185994 | 5,545270896 | 0,061206081 | 3,47912525 | 24,3538267 | Tidak terjadi likufaksi |
| 8,3 | 15,1 | 15,1 | 125,33 | 125,33 | 10 | 0,46538876 | 0,8755 | 1,0151 | 9,81 | 11,354055644 | 7,380136036 | 0,05888563 | 3,69467228 | 36,9467228 | Tidak terjadi likufaksi |
| 10 | 15,1 | 15,1 | 151 | 151 | 50 | 0,98505388 | 0,85 | 1,0151 | 9,81 | 13,28115036 | 8,6332747732 | 0,0571170515 | 15,5279503 | 776,397516 | Tidak terjadi likufaksi |
| 12 | 15,1 | 15,1 | 181,2 | 181,2 | 15 | 0,50927448 | 0,82 | 1,0151 | 9,81 | 15,37488465 | 9,993675021 | 0,055152732 | 3,92259414 | 58,8389121 | Tidak terjadi likufaksi |
| 14 | 15,1 | 5,1 | 211,4 | 71,4 | 50 | 0,88291611 | 0,79 | 1,0151 | 9,81 | 17,28112035 | 11,23272823 | 0,157321124 | 30,7125307 | 1535,62654 | Tidak terjadi likufaksi |
| 16 | 15,1 | 5,1 | 241,6 | 81,6 | 15 | 0,4614421 | 0,76 | 1,0151 | 9,81 | 18,99985745 | 12,34990734 | 0,151346904 | 8,18777293 | 122,816534 | Tidak terjadi likufaksi |
| 18 | 15,1 | 5,1 | 271,8 | 91,8 | 24 | 0,55919235 | 0,73 | 1,0151 | 9,81 | 20,53109586 | 13,34521238 | 0,145372684 | 11,787193 | 282,907662 | Tidak terjadi likufaksi |
| 20 | 15,1 | 5,1 | 302 | 102 | 36 | 0,65835716 | 0,7 | 1,0151 | 9,81 | 21,87483588 | 14,21864332 | 0,139398464 | 16,0714286 | 578,571429 | Tidak terjadi likufaksi |
| 22 | 15,1 | 5,1 | 332,2 | 112,2 | 50 | 0,7480063 | 0,67 | 1,0151 | 9,81 | 23,03107721 | 14,97020018 | 0,133424244 | 20,4582651 | 1022,91326 | Tidak terjadi likufaksi |
| 24 | 15,1 | 5,1 | 362,4 | 122,4 | 50 | 0,72293477 | 0,64 | 1,0151 | 9,81 | 23,99881994 | 15,59988296 | 0,127450024 | 18,8821752 | 944,108761 | Tidak terjadi likufaksi |

Lokasi : B-15 (Kompleks K. Uning)

| kedalaman (m) | γ_{sat} | γ' | o _{vo} ' | N | Dr | rd | a maks (m/det2) | g | τ max | tav | tav/o _{vo} ' | CN | N1 | Keterangan (grafik) | |
|------------------|----------------|-----------|-------------------|------|----|------------|--------------------|--------|------------|-------------|-----------------------|--------------|------------|---------------------|-------------------------|
| | | | | | | | | | | | | | | blw/ft | |
| 1,9 | 11,7 | 1,7 | 22,23 | 3,23 | 8 | 0,45542291 | 0,9715 | 1,0151 | 9,81 | 2,234714711 | 1,452564562 | 0,449710391 | 30,2343159 | 241,8745282 | Tidak terjadi likufaksi |
| 3,3 | 11,7 | 1,7 | 38,61 | 5,61 | 7 | 0,3660041 | 0,9505 | 1,0151 | 9,81 | 3,797447192 | 2,468340675 | 0,4399949425 | 22,4215247 | 156,950673 | Tidak terjadi likufaksi |
| 6 | 11,7 | 1,7 | 70,2 | 10,2 | 1 | 0,11276238 | 0,91 | 1,0151 | 9,81 | 6,610256697 | 4,298666853 | 0,421241848 | 2,47324752 | 2,47524752 | Terjadi likufaksi |
| 8 | 11,7 | 1,7 | 93,6 | 13,6 | 3 | 0,27543688 | 0,88 | 1,0151 | 9,81 | 8,523114862 | 5,540024661 | 0,407354754 | 6,3559332 | 19,0677966 | Tidak terjadi likufaksi |
| 10,5 | 15,2 | 5,2 | 159,6 | 54,6 | 2 | 0,19386524 | 0,84225 | 1,0151 | 9,81 | 13,91369942 | 9,043904622 | 0,165639279 | 1,54798762 | 3,09597523 | Terjadi likufaksi |

Lokasi : SLA Budi Luhur 2

mat : 5,5 m

| kedalaman (m) | γ_{sat} | γ' | σ_{vo} | σ_{vo}' | N | Dr | rd | a maks (ml/det2) | τ_{max} KN/m ² | τ_{av} KN/m ² | τ_{av}/τ_{vo}' | CN | N1 blw/ft | Keterangan (grafik) | |
|------------------|----------------|-----------|---------------|----------------|----|-------------|--------|---------------------|-----------------------------------|----------------------------------|------------------------|-------------|--------------|---------------------|-------------------------|
| 2 | 12,5 | 12,5 | 25 | 25 | 19 | 0,68170236 | 0,97 | 1,0151 | 9,81 | 2,509294088 | 1,631041157 | 0,665241646 | 27,1428571 | 515,714286 | Tidak terjadi likufaksi |
| 4,45 | 12,5 | 12,5 | 55,625 | 55,625 | 4 | 0,24531269 | 0,9333 | 1,0151 | 9,81 | 5,371651674 | 3,491573388 | 0,662769862 | 3,04761905 | 12,1904762 | Tidak terjadi likufaksi |
| 6 | 12,5 | 2,5 | 75 | 15 | 3 | 0,290044806 | 0,91 | 1,0151 | 9,81 | 7,062240061 | 4,59045604 | 0,306030403 | 6 | 18 | Tidak terjadi likufaksi |
| 8 | 12,5 | 2,5 | 100 | 20 | 18 | 0,66356093 | 0,88 | 1,0151 | 9,81 | 9,105891947 | 5,918829766 | 0,295941488 | 30 | 540 | Tidak terjadi likufaksi |
| 10 | 12,5 | 2,5 | 125 | 25 | 14 | 0,55107861 | 0,85 | 1,0151 | 9,81 | 10,989432977 | 7,146314348 | 0,285852574 | 20 | 280 | Tidak terjadi likufaksi |
| 12 | 12,5 | 2,5 | 150 | 30 | 50 | 0,98705574 | 0,82 | 1,0151 | 9,81 | 12,72755352 | 8,272909786 | 0,27576366 | 62,5 | 3125 | Tidak terjadi likufaksi |
| 14 | 12,5 | 2,5 | 175 | 35 | 28 | 0,70372198 | 0,79 | 1,0151 | 9,81 | 14,3055632 | 9,298616081 | 0,265674745 | 31,111111 | 871,111111 | Tidak terjadi likufaksi |
| 16 | 12,5 | 2,5 | 200 | 40 | 50 | 0,89976969 | 0,76 | 1,0151 | 9,81 | 15,72835882 | 10,22343323 | 0,255585831 | 50 | 2500 | Tidak terjadi likufaksi |
| 18 | 12,5 | 2,5 | 225 | 45 | 50 | 0,86399739 | 0,73 | 1,0151 | 9,81 | 16,99594037 | 11,04736124 | 0,245496916 | 45,4545455 | 2272,72727 | Tidak terjadi likufaksi |
| 20 | 12,5 | 2,5 | 250 | 50 | 50 | 0,83217833 | 0,7 | 1,0151 | 9,81 | 18,10830785 | 11,7704001 | 0,235408002 | 41,6666667 | 2083,33333 | Tidak terjadi likufaksi |

11. Widodo, Ir.,CES, PhD., 1997, **Teknik Gempa**, Fakultas Teknik Sipil Universitas Islam Indonesia, Yogyakarta.
12. _____, 1976, **Liquefaction Problems in Geotechnical Engineering**, ASCE Anuual Convention and Exposition, Philadelphia.
13. _____, 1993, **Laporan Akhir Pekerjaan Pengeboran dalam Rangka Penelitian Potensi Likuifaksi dan Percepatan Gempa di Maumere**, Pusat Penelitian dan Pengembangan Pengairan PU, Bandung.
14. _____, 1998, **Laporan BMG Mengenai Kejadian Gempa Bumi di Blitar dan Malang Jawa Timur tanggal 28 September 1998**, Badan Meteorologi dan Geofisika, Jakarta.